

양자문회로에 기초한 양자BP신경망의 한가지 모형

최일향, 김남철

양자신경망분야는 양자계산과 신경망분야가 서로 결합되면서 최근시기 새롭게 등장하여 주목을 끌고있다.[1] 물론 아직 양자신경망분야는 시작단계라고 볼수 있지만 세계적으로 양자신경계산영역에서는 이미 양자편상기억, 양자상태중첩, 양자병렬학습 등의 문제들에 대하여 이론적인 연구분석이 진행되었으며 양자신경계산연구의 발전을 위한 이론적 기초가 마련되어가고있다.[2]

1982년에 호프필드(Hopfield)신경망이, 1986년에 BP신경망이 제안된 이후 신경망분야에서는 이론연구에서 주목할만 한 결과가 얻어지지 않았으며 응용범위가 넓어지고 계산량이 늘어나는데 따라 신경계산(Neural Computation)의 제한성이 점점 명백해졌다. 실례로 학습량정보처리시 처리속도가 너무 느리고 기억용량에 제한이 있으며 반복훈련이 필요되고 새로운 정보를 접수할 때 기억상실이 쉽게 일어나는 등 많은 문제점들이 나타났다.[3] 이로부터 신경망과 양자계산이론이 결합된 양자신경망(Quantum Neural Networks, QNN)이 전망성있는 새로운 연구영역으로 등장하였다. 바로 양자계산이 양자병렬성과 양자얽힘특성을 가지므로 양자신경망을 리용하여 패턴인식을 비롯한 인공지능개발에 대한 연구를 심화시키는것이 하나의 새로운 연구방향으로 되고있다.[4]

론문에서는 양자문회로에 기초한 양자BP신경망의 한가지 모형을 제안하고 이 신경망의 학습알고리즘을 구성하였다.

1. 다중큐비트조종부정문

다중큐비트양자론리문의 한가지 실례로 조종부정문을 들수 있는데 이 론리문은 2개의 입력양자비트를 가지고있다. 그중에서 한 비트는 조종양자비트, 다른 한 비트는 표적양자비트라고 부른다.

그 작용은 다음과 같다. 만일 조종양자비트가 $|0\rangle$ 이면 표적양자비트는 자기의 상태를 보존하며 조종양자비트가 $|1\rangle$ 이면 표적양자비트는 반전된다.

2비트조종부정문을 다중양자비트문으로 확장할수 있다. 가령 $n+1$ 개의 양자비트가 있고 X 는 단일큐비트양자부정문이라고 하면 다중큐비트조종부정문의 연산 $C^n(X)$ 를 다음과 같이 정의할수 있다.

$$C^n(|x_1x_2\cdots x_n\rangle|\phi\rangle)\equiv x_1x_2\cdots x_n\rangle X^{x_1x_2\cdots x_n}|\phi\rangle \quad (1)$$

여기서 X 의 지수 $x_1x_2\cdots x_n$ 은 양자비트 x_1, x_2, \dots, x_n 의 적이다. 즉 n 개의 양자비트들이 모두 $|1\rangle$ 이면 부정문 X 는 맨 마지막 1개 비트를 반전시키며 그렇지 않으면 그 어떤 변환도 하지 않는다.(그림 1)

가령 n 개의 조종양자비트가 $|x_i\rangle=a_i|0\rangle+b_i|1\rangle$ ($i=1, 2, \dots, n$) 이라면 표적양자비트가 $|\phi\rangle=|0\rangle$ 일 때 다중큐비트조종부정문의 출력은 다음과 같이 표시된다.

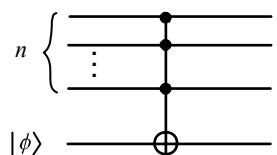


그림 1. 다중큐비트
조종부정문

$$C^n(|x_1\rangle \otimes \cdots \otimes |x_n\rangle \otimes |0\rangle) = |x_1\rangle \otimes \cdots \otimes |x_n\rangle |0\rangle - b_1 b_2 \cdots b_n \left| \overbrace{11 \cdots 10}^{n\text{개}} \right\rangle + b_1 b_2 \cdots b_n \left| \overbrace{11 \cdots 11}^{n\text{개}} \right\rangle \quad (2)$$

이로부터 알수 있는바와 같이 이 하나의 출력은 $n+1$ 개 량자비트들의 얽힘상태에 놓여있으며 표적량자비트 $|\phi\rangle = |1\rangle$ 이 출현할 확률은 $|b_1 b_2 \cdots b_n|^2$ 이다.

2. 량자문회로를 리용한 량자신경망모형과 망파라메터의 갱신규칙

량자문회로에 기초한 량자신경망모형은 그림 2와 같다. 여기서 $|x_1\rangle, \dots, |x_n\rangle$ 은 입력, $|h_1\rangle, \dots, |h_p\rangle$ 는 중간층출력, $|y_1\rangle, \dots, |y_m\rangle$ 은 망출력이다.

이제 량자문회로신경망의 입출력관계를 유도해보자.

n 차원힐베르트공간의 실수값벡토르를 통하여 훈련표본 $\bar{X} = (\bar{x}_1, \bar{x}_2, \dots, \bar{x}_n)^T$ 를 표시한다. 여기서 $\bar{x}_i \in [a_i, b_i]$ 이며 변환공식은 다음과 같다.

$$|X\rangle = (|x_1\rangle, |x_2\rangle, \dots, |x_n\rangle)^T \quad (3)$$

여기서 다음식을 리용한다.

$$|x_i\rangle = \cos \frac{2\pi(\bar{x}_i - a_i)}{b_i - a_i} |0\rangle + \sin \frac{2\pi(\bar{x}_i - a_i)}{b_i - a_i} |1\rangle = \left(\cos \frac{2\pi(\bar{x}_i - a_i)}{b_i - a_i}, \sin \frac{2\pi(\bar{x}_i - a_i)}{b_i - a_i} \right)^T \quad (4)$$

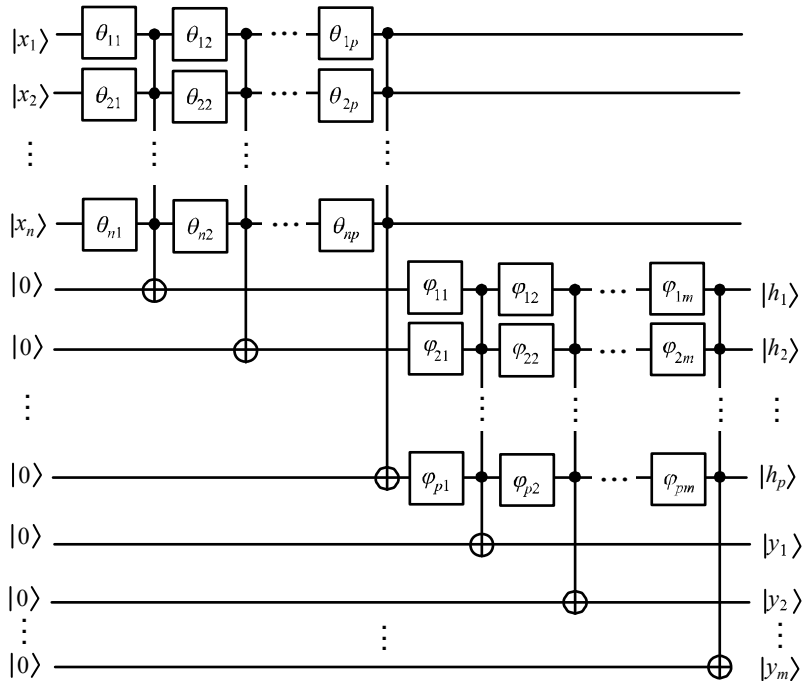


그림 2. 량자문회로에 기초한 량자신경망모형

만일 $|x_i\rangle = \cos \theta_i |0\rangle + \sin \theta_i |1\rangle$ 이라고 하면 단일비트위상밀립문과 다중비트조종부정연

산의 정의식으로부터 입출력관계식을 얻을수 있다.

$$\text{중간층출력: } |h_j\rangle = \cos\left(\varphi_j + \sum_{k=1}^m \varphi_{jk}\right) |0\rangle + \sin\left(\varphi_j + \sum_{k=1}^m \varphi_{jk}\right) |1\rangle,$$

$$\text{출력층출력: } |y_k\rangle = \cos \xi_k |0\rangle + \sin \xi_k |1\rangle$$

여기서 $\varphi_j = \arcsin\left(\prod_{i=1}^n \sin\left(\theta_i + \sum_{l=1}^j \theta_{il}\right)\right)$, $\xi_k = \arcsin\left(\prod_{j=1}^p \sin\left(\varphi_j + \sum_{q=1}^k \varphi_{jq}\right)\right)$ 이다. 그러나 중간층의 출력으로 실지로 출력층으로 전달되는 출력만을 고려하는 경우에는 다음과 같다.

$$|h_j\rangle = \cos \varphi_j |0\rangle + \sin \varphi_j |1\rangle \quad (j=1, 2, \dots, p) \quad (5)$$

$$|y_k\rangle = \cos \xi_k |0\rangle + \sin \xi_k |1\rangle \quad (k=1, 2, \dots, m) \quad (6)$$

매층의 양자비트들의 상태 $|1\rangle$ 의 확률진폭을 그 층의 실제출력으로 설정하면 망에서 매층의 실제적인 출력은 다음과 같다.

$$h_j = \sin \varphi_j = \prod_{i=1}^n \sin\left(\theta_i + \sum_{l=1}^j \theta_{il}\right) \quad (k=\overline{1, p}) \quad (7)$$

$$y_k = \sin \xi_k = \prod_{j=1}^p \sin\left(\arcsin\left(\prod_{i=1}^n \sin\left(\theta_i + \sum_{l=1}^j \theta_{il}\right)\right) + \sum_{q=1}^k \varphi_{jq}\right) \quad (k=\overline{1, m}) \quad (8)$$

제안한 모형에서 망의 조절가능한 파라미터는 중간층과 출력층의 단일비트위상밀립문의 회전위상이다. 가령 규격화한 후의 기대출력이 $\tilde{y}_1, \tilde{y}_2, \dots, \tilde{y}_n$ 이라면 오차함수는 다음과 같이 표시된다.

$$E = \frac{1}{2} \sum_{k=1}^m (\tilde{y}_k - y_k)^2 \quad (9)$$

그라디언트하강법을 리용하면 매층의 회전위상의 그라디언트하강계산식은 다음과 같이 표시된다.

$$\frac{\partial E}{\partial \theta_{ij}} = - \sum_{k=1}^m (\tilde{y}_k - y_k) y_k \cot\left(\varphi_j + \sum_{q=1}^k \varphi_{jq}\right) h_j \cot\left(\theta_i + \sum_{l=1}^j \theta_{il}\right) / \sqrt{1 - h_j^2} \quad (10)$$

$$\frac{\partial E}{\partial \varphi_{jk}} = -(\tilde{y}_k - y_k) y_k \cot\left(\varphi_j + \sum_{q=1}^k \varphi_{jq}\right) \quad (11)$$

따라서 중간층과 출력층의 회전각들에 대한 갱신식은 다음과 같이 쓸수 있다.

$$\theta_{ij}(t+1) = \theta_{ij}(t) - \eta \frac{\partial E}{\partial \theta_{ij}} \quad (12)$$

$$\varphi_{jk}(t+1) = \varphi_{jk}(t) - \eta \frac{\partial E}{\partial \varphi_{jk}} \quad (13)$$

여기서 t 는 교체걸음수이고 η 는 학습률이다.

맺 는 말

양자회전문과 다중큐비트조종부정문을 리용하는 양자문회로에 기초한 3층양자BP신경망모형을 제안하고 이 양자신경망의 입출력관계를 정량적으로 유도하였으며 학습알고리즘을 구성하기 위한 망파라미터갱신식을 유도하였다.

참 고 문 헌

- [1] M. B. Vicente; Progress in Artificial Intelligence, DOI 10.1007/s13748-014-0059-0, 2014.
- [2] A. J. Silva et al.; Neurocomputing, 75, 52, 2012.
- [3] H. Takesue et al.; NTT Technical Review, 15, 7, 1, 2017.
- [4] F. Neukart et al.; Procedia Engineering, 69, 1509, 2014.

주체109(2020)년 3월 5일 원고접수

A Model of Quantum BP Neural Network Based on the Quantum Gate Circuits

Choe Il Hyang, Kim Nam Chol

We proposed a three-layer quantum BP neural network based on the single qubit rotation gate and multi-qubit CNOT gate. We derived the input-output relation of the proposed quantum neural network quantitatively and also derived the updating rules of the networks parameters for constructing the study algorithm.

Keywords: neural network, quantum gate, circuit